

## Mawson bohrt 20,7 m mit 7,4 g/t Gold ab 74 m im Prospektionsgebiet Raja in Finnland einschließlich 2,2 m mit 32,6 g/t Gold und 3,0 m mit 19,4 g/t Gold

Vancouver, Kanada – Mawson Gold Limited („Mawson“) oder (das „Unternehmen“ – <https://www.commodity-tv.com/ondemand/companies/profil/mawson-gold-ltd/>) (TSX:MAW) (Frankfurt:MXR) (PINKSHEETS: MWSNF) gibt neue Bohrergergebnisse aus 4 Bohrungen im Prospektionsgebiet Raja bekannt, die im Rahmen des 76 Bohrungen (Gesamtlänge 19.422 m) umfassenden Bohrprogramms 2020/21 auf dem zu 100 % unternehmenseigenen Gold-Kobalt-Projekt Raja in Finnland niedergebracht wurden (Abbildung 1).

### Die wichtigsten Ergebnisse:

- Bohrung **PAL0297** durchteufte **20,7 m mit 7,4 g/t Au, 111 ppm Co, 7,5 g/t AuÄq** ab 74,0 m, einschließlich:
  - **2,2 m mit 32,6 g/t Au, 91 ppm Co, 32,7 g.t AuÄq** ab 75,0 m;
  - **3,0 m mit 19,4 g/t Au, 181 ppm Co, 19,5 g/t AuÄq** ab 90,7 m;
- Bohrung **PAL0295** durchteufte **15,7 m mit 3,8 g/t Au, 783 ppm Co, 4,5 g/t AuÄq** ab 74,0 m,
  - einschließlich **6,0 m mit 8,5 g/t Au, 344 ppm Co, 8,8 g/t AuÄq** ab 63,0 m;
- Bohrung **PAL0302** durchteufte **2,0 m mit 7,1 g/t Au, 96 ppm Co, 7,2 g/t AuÄq** ab 97,4 m.
- Alle Bohrungen wurden auf einem flachen, 90 m breiten Querschnitt im Prospektionsgebiet Raja niedergebracht und zielten darauf ab, ein nicht abgebohrtes flaches Gebiet zu überprüfen. Die Bohrungen befinden sich 250 m oberhalb von PAL0093, die 33,6 m mit 8,0 g/t Gold und 823 ppm Kobalt ab 243,0 m durchteufte ([Pressemitteilung vom 27. Juni 2018](#)).
- Insgesamt hat Mawson seit Beginn der Bohrungen im September 2020 76 Bohrungen mit einer Gesamtlänge von 19.422 m niedergebracht. Insgesamt werden hier 4 Bohrungen mit einer Gesamtlänge von 616 m vorgestellt;
- Insgesamt 43 Bohrungen mit einer Gesamtlänge von 11.130 m aus 5 einzelnen Prospektionsgebieten müssen noch gemeldet werden, wobei im August 2021 eine Ressourcenaktualisierung geplant ist.

Herr Hudson, Chairman und CEO, erklärt: „Die Entdeckung solch hoher Gehalte über weite Mächtigkeiten und in so geringen Tiefen ist ein Beweis sowohl für das unerschlossene Potenzial dieser sich ausdehnenden Entdeckung in Campgröße in Finnland als auch für das weitere geologische Verständnis, das von unserem erfahrenen finnischen Projektteam entwickelt wird. Diese Ergebnisse haben den Gehalt und die Mächtigkeit der oberflächennahen Teile des Prospektionsgebietes Raja mehr als verdoppelt und sind eine weitere Ermutigung, während wir auf unsere bald angekündigte Ressourcenaktualisierung für Rajapalot zusteuern.“

Hier werden Gold- und Kobaltanalyseergebnisse aus 4 Bohrungen mit einer Gesamtlänge von 616 m aus dem Bohrprogramm 2020/21 gemeldet, das jetzt abgeschlossen ist (Abbildung 1). Insgesamt hat Mawson seit Beginn der Bohrungen im September 2020 76 Bohrungen mit einer Gesamtlänge von 19.422 m niedergebracht. Die hier veröffentlichten Bohrungen stammen alle aus dem Prospektionsgebiet Raja (PAL0295, PAL0297, PAL0300, PAL0302). Ein vollständiger Satz der

gemeldeten Ergebnisse ist in Tabelle 3 aufgeführt. Abschnitte werden mit einem unteren Cut-off-Gehalt von 0,3 g/t Au $\ddot{A}$ q über zwei Meter berichtet. Es wurde kein oberer Cut-off-Gehalt angewendet. Höhergradige Abschnitte verwenden einen unteren Cut-off-Gehalt von 1,1 g/t Au $\ddot{A}$ q über zwei Meter. PAL0297 durchteufte auch eine mächtigere Zone von 32,2 m mit 5,4 g/t Au, 297 ppm Co, 5,6 g/t Au $\ddot{A}$ q ab 74,0 m, wenn kein unterer Cut-off-Gehalt angewendet wurde. PAL0300 durchteufte keine bedeutenden Abschnitte. Insgesamt 43 Bohrungen mit einer Gesamtlänge von 11.130 m aus fünf einzelnen Prospektionsgebieten müssen noch gemeldet werden, wobei für August 2021 eine Ressourcenaktualisierung in Rajapalot geplant ist.

### Technischer und ökologischer Hintergrund

Für das Bohrprogramm werden vier Kernbohrgeräte von Kati Oy, Nivalan Timanttikairaus Oy und MK Core Drilling Oy eingesetzt, alle mit Wasserrückführung und Bohrkleinauffangsystemen. Der Kerndurchmesser ist NQ2 (50,7 mm). Die Kernaussbeute ist hervorragend und liegt im frischen Gestein durchschnittlich bei nahezu 100 %. Nach dem Fotografieren und Protokollieren in den Einrichtungen von Mawson in Rovaniemi werden die Kernintervalle von durchschnittlich einem Meter für vererzte Proben und zwei Metern für metallfreie Proben in den Kerneinrichtungen des Geological Survey of Finland (GTK) in Rovaniemi, Finnland, halbiert. Der verbleibende halbe Kern wird für Verifizierungs- und Referenzzwecke aufbewahrt. Die Analyseproben werden mit einem kommerziellen Transport vom Standort zur CRS Minlab Oy Einrichtung in Kempele, Finnland, transportiert. Die Proben wurden unter Verwendung der PAL1000-Technik vorbereitet und auf Gold analysiert, bei der die Probe in Stahltöpfen mit abrasiven Medien in Gegenwart von Cyanid gemahlen wird. Anschließend wird der Goldgehalt in Lösung mittels eines AAS-Geräts bestimmt. Proben für die Multi-Elementanalyse (einschließlich Kobalt) werden im CRS Minlab pulverisiert, dann auf dem Luftweg zu den MSA-Labors in Vancouver, Kanada, transportiert und unter Verwendung eines Säureaufschlusses (4 verschiedene Säuren) mittels ICP-MS-Methoden analysiert. Das QA/QC-Programm von Mawson besteht aus der systematischen Einfügung zertifizierter Standards mit bekanntem Goldgehalt, Doppelproben durch Viertelung des Kerns und Leerproben im Bereich des interpretierten mineralisierten Gesteins. Darüber hinaus fügt CRS Leer- und Standardproben in den Analyseprozess ein.

Die Spotpreise für Gold und Kobalt wurden zur Berechnung der Au $\ddot{A}$ q-Gehalte wie folgt verwendet:

- Durchschnittlicher Goldpreis 1.599 USD pro Unze
- Durchschnittlicher Kobaltpreis 19,93 USD pro Pfund
- Daraus ergibt sich die Goldäquivalentformel von Au $\ddot{A}$ q g/t = Au g/t + (Co ppm/1.170).

Das Wirtsgestein der Gold- und Kobaltvererzung besteht aus Sulfiden (Magnetkies >> Pyrit) mit Biotit-Muskovit-Chlorit-Schiefer und Mg-Fe-Amphibol-Biotit-Chlorit-Gestein. Gang- und Kluffüllungsminerale umfassen Magnetkies, Magnetit und Magnetit-Magnetkies (+/- Quarz, Turmalin). Retrograder Chlorit nach Biotit, Generationen von sekundärem Muskovit („Serizit“) und gangkontrollierter Chlorit +/- Turmalin und Magnetit sind ebenfalls vorhanden. Eine vorläufige Hand-RFA-Analyse bestätigt das Vorhandensein von paragenetischem Scheelit und Molybdänit, wobei ersterer unter UV-Licht als winzige Gänge und Einsprengungen sichtbar ist. Die mit dem Gold vergesellschafteten Silikatmineral-Alterationsparagenesen sind eindeutig postmetamorph, reduziert und wurden höchstwahrscheinlich durch hydrothermale Flüssigkeiten aus nahe gelegenen granitähnlichen Intrusionen angetrieben. Chlorit und feiner Muskovit werden als die Silikatminerale angesehen, die mit Gold bei niedrigster Temperatur vorkommen. Sie stehen strukturell in scheinbar räumlicher Verbindung mit Quarz- und/oder K-Feldspat-Gängen. Alterierte Gesteine, die das vererzte Paket umgeben, enthalten lokal reichlich Talk und Turmalin.

Alle Karten wurden im einheitlichen Koordinatensystem KKJ3/Finnland (EPSG:2393) erstellt.

Die Tabellen 1-2 enthalten Bohransatzpunkt- und Analysedaten. Unter der Annahme einer vorherrschenden schichtgebundenen Kontrolle wird die wahre Mächtigkeit des vererzten Abschnitts mit etwa 90 % der beprobten Mächtigkeit interpretiert. Tabelle 3 enthält detaillierte Einzelanalysen aller Abschnitte, die in dieser Pressemitteilung gemeldet werden. Die Abschnitte werden mit einem unteren Cut-off-Gehalt von 0,3 g/t Au $\ddot{A}$ q über eine Länge von zwei Metern angegeben. Es wurde kein oberer Cut-off-Gehalt angewandt; höhergradige Abschnitte verwenden einen unteren Cut-off-Gehalt von 1,1 g/t Au $\ddot{A}$ q über zwei Meter.

**NI 43-101 konformer technischer Bericht:** Am [14. September 2020](#) wurde eine aktualisierte Ressourcenschätzung von Rodney Webster von AMC aus Melbourne, Australien, und Dr. Kurt Simon Forrester von Arn Perspective aus Surrey, England, abgeschlossen. Herr Webster und Herr Dr. Forrester sind jeweils unabhängige „qualifizierte Personen“ im Sinne von NI 43-101. Der technische Bericht NI 43-101 trägt den Titel „Rajapalot Property Mineral Resource Estimation NI 43-101 Technical Report“, datiert den 14. September 2020 (der „aktualisierte technische Bericht“). Der aktualisierte technische Bericht kann auf der Website des Unternehmens unter [www.mawsongold.com](http://www.mawsongold.com) oder unter dem Profil des Unternehmens auf SEDAR unter [www.sedar.com](http://www.sedar.com) abgerufen werden. Den Lesern wird empfohlen, den gesamten aktualisierten technischen Bericht zu lesen.

### Qualifizierte Person

Dr. Nick Cook (FAusMM), Chefgeologe des Unternehmens, ist gemäß National Instrument 43-101 - Standards of Disclosure oder Mineral Projects (Offenlegungsstandards für Mineralprojekte) eine qualifizierte Person und hat die und hat die Erstellung der wissenschaftlichen und technischen Informationen in dieser Pressemitteilung vorbereitet oder überprüft.

## Über Mawson Gold Limited (TSX:MAW, FRANKFURT:MXR, OTC:PINK:MWSNF)

[Mawson Gold Limited](#) ist ein Explorations- und Entwicklungsunternehmen. Mawson hat sich als führendes Explorationsunternehmen in der nordischen Arktis profiliert, wobei der Schwerpunkt auf dem Vorzeige-Gold-Kobalt-Projekt Rajapalot in Finnland liegt. Mawson besitzt auch drei hochgradige, historische, epizonale Goldfelder mit einer Fläche von 470 Quadratkilometern in Victoria, Australien, oder ist an Joint Ventures beteiligt und ist gut aufgestellt, um seine bereits bedeutenden Gold-Kobalt-Ressourcen in Finnland zu erweitern.

Im Namen des Board,

**"Michael Hudson"**

Michael Hudson, Chairman & CEO

In Europa:

Swiss Resource Capital AG

Jochen Staiger

[info@resource-capital.ch](mailto:info@resource-capital.ch)

[www.resource-capital.ch](http://www.resource-capital.ch)

### Nähere Informationen erhalten Sie über

[www.mawsongold.com](http://www.mawsongold.com)

1305 – 1090 West Georgia St., Vancouver, BC, V6E 3V7

Mariana Bermudez (Canada), Corporate Secretary, +1 (604) 685 9316,

[info@mawsongold.com](mailto:info@mawsongold.com)

**Zukunftsgerichtete Aussage.** Diese Pressemitteilung enthält zukunftsgerichtete Aussagen oder zukunftsgerichtete Informationen im Sinne der geltenden kanadischen Wertpapiergesetze (zusammenfassend als "zukunftsgerichtete Aussagen" bezeichnet). Alle hierin enthaltenen Aussagen, mit Ausnahme von Aussagen über historische Fakten, sind zukunftsgerichtete Aussagen und basieren auf verschiedenen Schätzungen und Annahmen, einschließlich, aber nicht beschränkt auf die Erwartungen und Überzeugungen des Managements, einschließlich der Tatsache, dass das Unternehmen Zugang zu Finanzmitteln, geeigneter Ausrüstung und ausreichend Arbeitskräften hat. Zukunftsgerichtete Aussagen sind typischerweise durch Wörter wie: glauben, erwarten, antizipieren, beabsichtigen, schätzen, postulieren und ähnliche Ausdrücke gekennzeichnet, oder sind solche, die sich ihrer Natur nach auf zukünftige Ereignisse beziehen. Mawson weist Investoren darauf hin, dass zukunftsgerichtete Aussagen keine Garantie für zukünftige Ergebnisse oder Leistungen sind und dass die tatsächlichen Ergebnisse aufgrund verschiedener Faktoren erheblich von denen in zukunftsgerichteten Aussagen abweichen können, einschließlich, aber nicht beschränkt auf: Kapital- und andere Kosten, die erheblich von den Schätzungen abweichen; Veränderungen auf den Weltmetallmärkten; Veränderungen auf den Aktienmärkten; die Fähigkeit, Ziele zu erreichen; dass das politische Umfeld, in dem das Unternehmen tätig ist, weiterhin die Entwicklung und den Betrieb von Bergbauprojekten unterstützt; die Bedrohung durch den Ausbruch von Viren und Infektionskrankheiten, einschließlich des neuartigen COVID-19-Virus; Risiken im Zusammenhang mit negativer Publicity in Bezug auf das Unternehmen oder die Bergbaubranche im Allgemeinen; Abhängigkeit von einem einzelnen Vermögenswert; geplante Bohrprogramme und Ergebnisse, die von den Erwartungen abweichen; unerwartete geologische Bedingungen; Beziehungen zu den lokalen Gemeinden; Umgang mit Nichtregierungsorganisationen; Verzögerungen bei den Betriebsabläufen aufgrund von Genehmigungen; Umwelt- und Sicherheitsrisiken; und andere Risiken und Ungewissheiten, die unter der Überschrift "Risk Factors" in Mawsons jüngstem Jahresinformationsblatt, das auf [www.sedar.com](http://www.sedar.com). Obwohl diese Faktoren und Annahmen von Mawson angesichts der Erfahrungen und Wahrnehmungen des Managements in Bezug auf die aktuellen Bedingungen und erwarteten Entwicklungen als vernünftig erachtet werden, kann Mawson keine Garantie dafür geben, dass sich diese Erwartungen als richtig erweisen werden. Jede zukunftsgerichtete Aussage bezieht sich nur auf das Datum, an dem sie gemacht wird, und mit Ausnahme der in den geltenden Wertpapiergesetzen vorgeschriebenen Fälle lehnt Mawson jegliche Absicht oder Verpflichtung ab, zukunftsgerichtete Aussagen zu aktualisieren, sei es aufgrund neuer Informationen, zukünftiger Ereignisse oder Ergebnisse oder aus anderen Gründen.

Abbildung 1: Plan von Rajapalot mit den bisher gemeldeten Ergebnissen des Bohrprogramms 2021. Die Ergebnisse in Rot sind diejenigen, die in dieser Pressemitteilung für das Prospektionsgebiet Raja gemeldet wurden. Gestrichelte rote Rechtecke zeigen den Schwerpunkt des Bohrprogramms zur Ressourcenerweiterung 2021 mit historischen Bohrungen, Ressourcengebieten und geophysikalischen EM-Leitern.

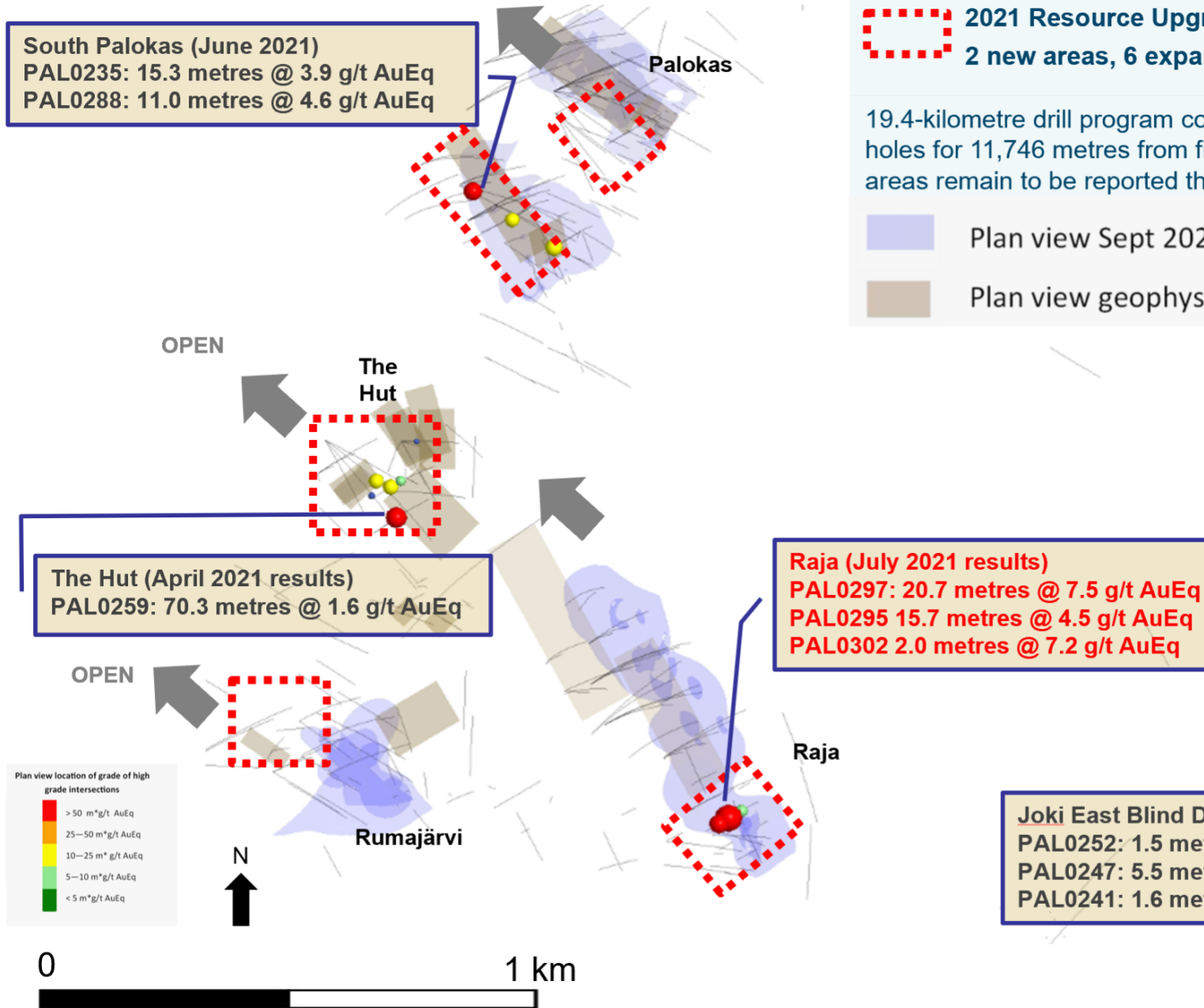


Tabelle 1: Information über Bohransatzpunkte des Bohrprogramms 2020-21 auf dem Projekt Rajapalot (Finnisches Koordinatensystem, Projektion KKJ3)

Bohrung	Ost	Nord	Azimut	Neigung	RL	Tiefe (m)	Prospektionsgebiet	Anmerkung
PAL0235	3408208.1	7373667.8	047	-81.0	172.7	176.9 to 522.0	South Palokas	<a href="#">berichtet 29. June 2021</a>
PAL0237	3409690	7374570	220	-61	180.4	68.5	Hirvimaa	<a href="#">berichtet 25. Nov. 2020</a>
PAL0238	3409662	7374613	220	-77	180.9	149.7	Hirvimaa	<a href="#">berichtet 25. Nov. 2020</a>
PAL0239	3410303.4	7372642.9	060	-66.0	151.0	41.7	Joki East	aufgegeben, <a href="#">berichtet 25. Nov. 2020</a>
PAL0240	3410305.1	7372643.6	060	-66.0	151.2	281.7	Joki East	<a href="#">berichtet 25. Nov. 2020</a>
PAL0241	3410337.8	7372661.1	060	-66.0	151.3	236.4	Joki East	<a href="#">berichtet 25. Nov. 2020</a>
PAL0242	3410364.0	7372674.9	060	-66.0	150.6	236.8	Joki East	<a href="#">berichtet 25. Nov. 2020</a>
PAL0243	3410309.3	7372708.5	060	-67.5	151.4	239.7	Joki East	<a href="#">berichtet 21. Dez. 2020</a>
PAL0244	3410337.3	7372726.2	062	-68.0	151.4	251.7	Joki East	<a href="#">berichtet 21. Dez. 2020</a>
PAL0245	3410275.0	7372690.0	060	-66.0	151.4	257.5	Joki East	<a href="#">berichtet 21. Dez. 2020</a>
PAL0246	3410266.1	7372744.7	060	-71.0	152.3	287.6	Joki East	<a href="#">berichtet 21. Dez. 2020</a>
PAL0247	3410211.8	7372728.5	061	-64.0	151.5	293.4	Joki East	<a href="#">berichtet 21. Dez. 2020</a>
PAL0248	3411714.7	7371404.9	065	-60.0	124.9	323.6	Regional	<a href="#">berichtet 12. April 2021</a>
PAL0249	3410204.0	7372724.3	064	-72.0	151.6	269.6	Joki East	<a href="#">berichtet 12. April 2021</a>
PAL0250	3410404.0	7372632.2	060	-66.0	151.2	195.3	Joki East	<a href="#">berichtet 12. April 2021</a>
PAL0251	3410374.9	7372616.9	060	-66.0	151.0	179.9	Joki East	<a href="#">berichtet 12. April 2021</a>
PAL0252	3410435.4	7372651.2	060	-66.0	149.5	155.9	Joki East	<a href="#">berichtet 12. April 2021</a>
PAL0253	3410154.1	7372819.7	061	-78.5	153.8	359.7	Joki East	<a href="#">berichtet 12. April 2021</a>
PAL0254	3410153.2	7372821.5	061	-70.5	155.0	320.9	Joki East	<a href="#">berichtet 12. April 2021</a>
PAL0255	3408125.6	7373140.2	090	-85.0	172.5	347.9	Hut	<a href="#">berichtet 12. April 2021</a>
PAL0256	3408125.6	7373140.2	088	-72.0	172.5	272.6	Hut	<a href="#">berichtet 12. April 2021</a>
PAL0257	3408126.6	7373140.2	087	-58.0	172.5	230.4	Hut	<a href="#">berichtet 12. April 2021</a>
PAL0258	3407835.1	7372449.6	039	-85.0	172.3	389.8	Rumajärvi	Ergebnisse erwartet
PAL0259	3408064.0	7372937.0	057	-61.5	173.4	299.9	Hut	<a href="#">berichtet 12. April 2021</a>
PAL0260	3408089.4	7373033.5	059	-70.0	173.1	320.6	Hut	<a href="#">berichtet 12. April 2021</a>
PAL0261	3408064.0	7372937.0	057	-74.0	173.4	311.7	Hut	Ergebnisse erwartet
PAL0262	3408463.9	7373910.4	139	-73.0	173.6	358.9	Palokas	Ergebnisse erwartet
PAL0263	3408089.4	7373033.5	059	-84.0	173.1	329.8	Hut	<a href="#">berichtet 12. April 2021</a>
PAL0264	3407834.0	7372449.7	039	-68.0	172.8	125.5	Rumajärvi	Ergebnisse erwartet
PAL0265	3407956.6	7373143.7	143	-49.0	172.1	301.8	Hut	<a href="#">berichtet 12. April 2021</a>
PAL0266	3407835.1	7372448.6	210	-78.0	172.3	149.7	Rumajärvi	Ergebnisse erwartet
PAL0267	3407840.8	7372408.1	065	-48.2	172.7	268.9	Rumajärvi	Ergebnisse erwartet
PAL0268	3408186.3	7372767.6	060	-80.0	178.7	131.5	Terry's Hammer	Ergebnisse erwartet
PAL0269	3407956.6	7373143.7	126	-46.0	172.1	268.5	Hut	<a href="#">berichtet 12. April 2021</a>
PAL0270	3408463.9	7373910.4	124	-59.0	173.6	289.8	Palokas	Ergebnisse erwartet
PAL0271	3408186.3	7372767.6	210	-85.0	178.7	120.0	Terry's Hammer	Ergebnisse erwartet
PAL0272	3407840.8	7372408.1	065	-73.0	172.7	302.6	Rumajärvi	Ergebnisse erwartet
PAL0273	3408215.8	7372746.9	119	-54.0	177.3	82.1	Terry's Hammer	Ergebnisse erwartet
PAL0274	3407956.6	7373143.7	114	-45.0	172.1	280.2	Hut	Ergebnisse erwartet
PAL0275	3408089.4	7373033.5	240	-81.0	173.1	161.8	Hut	Ergebnisse erwartet
PAL0276	3408467.8	7373868.1	128	-50.0	172.0	23.9	Palokas	Ergebnisse erwartet
PAL0277	3408090.7	7373033.0	056	-81.5	173.6	257.3	Hut	Ergebnisse erwartet
PAL0278	3407956.6	7373143.0	150	-50.0	172.1	280.0	Hut	Ergebnisse erwartet
PAL0279	3408467.8	7373868.1	128	-50.0	172.0	287.9	Palokas	Ergebnisse erwartet
PAL0280	3407641.8	7372426.8	061	-38.0	173.0	342.9	Rumajärvi	Ergebnisse erwartet
PAL0281	3408544.8	7373674.7	116	-60.0	173.5	146.3	South Palokas	Ergebnisse erwartet
PAL0282	3407941.4	7373070.5	061	-67.0	172.7	341.9	Hut	Ergebnisse erwartet
PAL0283	3408467.8	7373868.1	141	-52.1	173.5	277.9	Palokas	Ergebnisse erwartet
PAL0284	3408521.2	7373606.0	062	-79.0	173.6	146.6	South Palokas	Ergebnisse erwartet
PAL0285	3407641.8	7372426.9	061	-47.0	173.0	314.2	Rumajärvi	Ergebnisse erwartet
PAL0286	3408521.2	7373606.0	240	-69.0	173.6	149.4	South Palokas	Ergebnisse erwartet
PAL0287	3407941.4	7373070.5	061	-76.0	172.7	346.7	Hut	Ergebnisse erwartet
PAL0288	3408521.2	7373606.0	240	-57.0	173.6	172.8	South Palokas	<a href="#">berichtet 29. Juni 2021</a>
PAL0289	3408467.8	7373868.1	155	-52.0	172.0	305.2	Palokas	Ergebnisse erwartet
PAL0290	3408410.5	7373660.5	235	-78.0	174.0	335.6	South Palokas	<a href="#">berichtet 29. Juni 2021</a>
PAL0291	3407941.4	7373070.5	061	-85.0	172.7	329.3	Hut	Ergebnisse erwartet
PAL0292	3408112.4	7372770.1	060	-61.0	172.4	149.1	Terry's Hammer	Ergebnisse erwartet
PAL0293	3408467.8	7373868.1	061	-68.0	172.0	344.3	Palokas	Ergebnisse erwartet
PAL0294	3407941.4	7373070.5	220	-87.0	172.7	353.7	Hut	Ergebnisse erwartet
PAL0295	3408821.1	7372287.6	058	-80.0	172.7	140.2	Raja	Hier berichtet
PAL0296	3408410.5	7373660.5	241	-71.5	174.0	368.7	South Palokas	Ergebnisse erwartet
PAL0297	3408821.1	7372287.6	058	-66.0	172.7	169.4	Raja	Hier berichtet
PAL0298	3408466.5	7373867.0	128	-65.0	173.9	305.1	Palokas	Ergebnisse erwartet
PAL0299	3408410.5	7373660.5	241	-64.5	174.0	394.7	South Palokas	Ergebnisse erwartet
PAL0300	3408821.1	7372287.6	245	-80.0	172.7	142.5	Raja	Hier berichtet
PAL0301	3407999.2	7373194.3	115	-57.0	172.1	335.0	Hut	Ergebnisse erwartet

<b>PAL0302</b>	3408912.5	7372341.5	238	-73.0	172.3	163.8	Raja	Hier berichtet
<b>PAL0303</b>	3407712.4	7373644.2	044	-75.5	172.7	629.2	South Palokas	Ergebnisse erwartet
<b>PAL0304</b>	3407681.1	7373602.7	160	-58.0	173.6	125.2	South Palokas	Ergebnisse erwartet
<b>PAL0305</b>	3407649.8	7373660.5	050	-82.0	174.0	281.5	South Palokas	Ergebnisse erwartet
<b>PAL0306</b>	3407843	7372798	60	-45	172.4	280.6	Rumajärvi	Ergebnisse erwartet
<b>PAL0307</b>	3408273	7373630	66	-85	174.66	352.9	South Palokas	Ergebnisse erwartet
<b>PAL0308</b>	3408134	7373634	50	-77	173	515.6	South Palokas	Ergebnisse erwartet
<b>PAL0309</b>	3407850	7372499	81	-74	172.5	202.5	Rumajärvi	Ergebnisse erwartet
<b>PAL0310</b>	3408610	7373895	167	-76	174.86	209.5	Palokas	Ergebnisse erwartet
<b>PAL0311</b>	3408610	7373895	96	-55	174.86	78.9	Palokas	Aufgegeben aufgrund der Schneeschmelze

Tabelle 2: Abschnitte aus dem Winterbohrprogramm 2020-21. Abschnitte werden mit einem unteren Cut-off-Gehalt von 0.3 g/t AuÄq (unter Verwendung von langfristig prognostizierten Gold- und Kobaltpreisen von 1.599 USD pro Unze bzw. 19,93 USD pro Pfund) über 2 m angegeben. Es wurde kein oberer Cut-off-Gehalt angewandt. „<“ steht für unter der Nachweisgrenze von 0,05 g/t Au.

Prospektionsgebiet	Bohrung	Von (m)	Bis (m)	Länge (m)	Au g/t	Co ppm	AuEq g/t
South Palokas	PAL0235	439.5	454.7	15.2	3.0	998	3.9
South Palokas	PAL0235	494.1	495.3	1.2	0.3	0	0.3
Joki East	PAL0240	148.8	149.8	1.0	0.9	5	0.9
Joki East	PAL0240	165.1	167.5	2.4	0.1	1187	1.1
Joki East	PAL0241	168.6	170.2	1.6	28.3	1190	29.3
Joki East	PAL0242	154.0	158.5	4.4	7.3	735	7.9
Joki East	PAL0243	193.0	195.9	2.9	0.6	574	1.1
Joki East	PAL0245	177.1	178.4	1.3	25.3	2327	27.3
Joki East	PAL0245	191.0	191.5	0.5	23.0	3974	26.4
Joki East	PAL0245	194.8	196.9	2.1	2.8	806	3.5
Joki East	PAL0246	188.6	189.2	0.6	10.3	725	10.9
Joki East	PAL0246	204.4	212.4	7.9	0.7	323	1.0
Joki East	PAL0247	216.6	218.5	1.9	0.7	103	0.7
Joki East	PAL0247	220.9	230.0	9.1	4.3	457	4.7
Joki East	PAL0249	177.3	178.3	1.0	2.5	344	2.8
Joki East	PAL0250	87.5	89.2	1.7	2.0	159	2.1
Joki East	PAL0250	120.5	121.5	1.0	0.8	130	0.9
Joki East	PAL0250	125.2	128.1	2.9	1.5	782	2.2
Joki East	PAL0250	136.6	137.6	1.0	1.8	33	1.8
Joki East	PAL0251	146.5	146.9	0.5	0.4	15	0.4
Joki East	PAL0251	152.8	153.9	1.2	0.4	29	0.4
Joki East	PAL0252	117.0	118.5	1.5	18.1	1696	19.6
Joki East	PAL0254	215.0	218.1	3.1	0.4	107	0.5
Joki East	PAL0254	288.5	290.0	1.5	1.3	167	1.4
Hut	PAL0255	78.8	90.1	11.4	0.4	123	0.5
Hut	PAL0255	102.5	103.5	1.1	0.1	314	0.3
Hut	PAL0255	106.6	110.5	4.0	0.1	222	0.3
Hut	PAL0255	212.7	213.8	1.1	0.1	609	0.6
Hut	PAL0255	236.6	237.7	1.1	0.2	268	0.4
Hut	PAL0255	312.1	313.1	1.0	1.0	44	1.1
Hut	PAL0256	79.4	83.0	3.7	0.2	67	0.3
Hut	PAL0256	95.9	96.9	1.0	0.2	382	0.5
Hut	PAL0256	100.2	101.2	1.0	0.3	127	0.4
Hut	PAL0256	110.0	113.0	3.0	0.9	549	1.3
Hut	PAL0256	115.1	119.0	3.9	0.3	223	0.5
Hut	PAL0256	121.4	125.0	3.7	0.1	234	0.3
Hut	PAL0256	140.0	142.0	2.0	0.0	385	0.4
Hut	PAL0257	47.0	48.0	1.0	0.1	219	0.3
Hut	PAL0257	174.5	175.5	1.0	0.1	429	0.4
Hut	PAL0259	95.8	124.0	28.3	1.0	1090	2.0
Hut	PAL0259	126.3	150.3	24.0	1.0	1104	2.0
Hut	PAL0259	153.3	154.3	1.0	1.7	10	1.7
Hut	PAL0259	159.0	166.0	7.0	1.1	31	1.2
Hut	PAL0260	89.8	97.8	8.0	0.4	83	0.5
Hut	PAL0260	109.0	114.4	5.4	3.0	262	3.2

<b>Hut</b>	PAL0260	290.5	291.5	1.0	0.1	1357	1.2
<b>Hut</b>	PAL0263	98.7	99.9	1.1	2.2	473	2.6
<b>Hut</b>	PAL0263	103.0	116.6	13.6	1.2	98	1.3
<b>Hut</b>	PAL0263	121.5	125.8	4.3	2.3	26	2.3
<b>Hut</b>	PAL0263	222.3	231.5	9.2	1.1	256	1.3
<b>Hut</b>	PAL0265	203.2	204.2	1.0	1.0	11	1.0
<b>Hut</b>	PAL0265	231.6	241.6	10.0	0.8	406	1.1
<b>Hut</b>	PAL0269	185.7	186.7	1.0	0.1	461	0.5
<b>Hut</b>	PAL0269	191.7	193.8	2.1	5.2	275	5.5
<b>Hut</b>	PAL0269	195.9	210.9	15.0	1.0	307	1.3
<b>Hut</b>	PAL0269	214.9	215.9	1.0	0.6	14	0.6
<b>Hut</b>	PAL0269	219.4	222.4	3.0	3.1	13	3.1
<b>Hut</b>	PAL0269	250.0	250.9	0.8	1.8	66	1.9
<b>South Palokas</b>	PAL0288	119.0	130.0	11.0	4.0	756	4.6
<b>South Palokas</b>	PAL0288	134.0	140.0	6.0	0.3	448	0.7
<b>South Palokas</b>	PAL0290	186.0	194.0	8.0	0.3	394	0.6
<b>South Palokas</b>	PAL0290	197.0	198.0	1.0	0.7	142	0.8
<b>South Palokas</b>	PAL0290	201.0	203.0	2.0	0.0	372	0.3
<b>South Palokas</b>	PAL0290	229.8	230.8	1.0	0.1	444	0.4
<b>South Palokas</b>	PAL0290	240.0	260.0	20.0	1.7	529	2.1
<b>Raja</b>	PAL0295	31.6	37.6	6.0	0.0	1054	0.9
<b>Raja</b>	PAL0295	40.7	41.7	1.0	0.0	930	0.8
<b>Raja</b>	PAL0295	49.3	50.3	1.0	0.7	175	0.8
<b>Raja</b>	PAL0295	53.3	69.0	15.7	3.8	783	4.5
<b>Raja</b>	einschließlich	63.0	69.0	6.0	8.5	344	8.8
<b>Raja</b>	PAL0297	40.9	45.9	5.0	0.0	1127	1.0
<b>Raja</b>	PAL0297	65.4	68.4	3.0	2.8	263	3.0
<b>Raja</b>	einschließlich	67.4	68.4	1.0	6.7	187	6.8
<b>Raja</b>	PAL0297	74.0	94.7	20.7	7.4	111	7.5
<b>Raja</b>	einschließlich	75.0	77.2	2.2	32.6	91	32.7
<b>Raja</b>	einschließlich	86.2	87.2	1.0	6.4	47	6.5
<b>Raja</b>	einschließlich	90.7	93.7	3.0	19.4	181	19.5
<b>Raja</b>	PAL0297	102.7	103.7	1.0	4.9	1230	6.0
<b>Raja</b>	PAL0302	97.4	99.4	2.0	7.1	96	7.2
<b>Raja</b>	PAL0302	125.4	126.4	1.0	0.4	33	0.4
<b>Raja</b>	PAL0302	144.0	148.4	4.4	1.6	512	2.0



Tabelle 3: Einzelne Analysedaten aus Bohrungen über die in dieser Pressemitteilung berichtet wurde.

<b>Bohrung</b>	<b>Von (m)</b>	<b>Bis (m)</b>	<b>Länge (m)</b>	<b>Au g/t</b>	<b>Co ppm</b>	<b>AuEq g/t</b>
<b>PAL0295</b>	31.6	32.6	1.0	<	798.3	0.7
<b>PAL0295</b>	32.6	33.6	1.0	<	795	0.7
<b>PAL0295</b>	33.6	34.6	1.0	<	978	0.9
<b>PAL0295</b>	34.6	35.6	1.0	<	802.1	0.7
<b>PAL0295</b>	35.6	36.6	1.0	<	1152.7	1.0
<b>PAL0295</b>	36.6	37.6	1.0	<	1800.3	1.6
<b>PAL0295</b>	40.7	41.7	1.0	<	930.4	0.8
<b>PAL0295</b>	49.3	50.3	1.0	0.68	175.3	0.8
<b>PAL0295</b>	53.3	53.9	0.6	0.61	106.8	0.7
<b>PAL0295</b>	53.9	55.0	1.1	0.52	411.4	0.9
<b>PAL0295</b>	55.0	56.0	1.0	0.32	220.9	0.5
<b>PAL0295</b>	56.0	57.0	1.0	0.2	646.9	0.8
<b>PAL0295</b>	57.0	58.0	1.0	0.89	1915.6	2.5
<b>PAL0295</b>	58.0	59.0	1.0	0.26	1532.1	1.6
<b>PAL0295</b>	59.0	60.0	1.0	0.6	2179.6	2.5
<b>PAL0295</b>	60.0	61.0	1.0	0.84	2514.4	3.0
<b>PAL0295</b>	61.0	62.0	1.0	2.24	475.7	2.6
<b>PAL0295</b>	62.0	63.0	1.0	2.17	222.8	2.4
<b>PAL0295</b>	63.0	64.0	1.0	17.2	328.6	17.5
<b>PAL0295</b>	64.0	65.0	1.0	8.52	268.8	8.7
<b>PAL0295</b>	65.0	66.0	1.0	8.63	319.8	8.9
<b>PAL0295</b>	66.0	67.0	1.0	1.89	765.3	2.5
<b>PAL0295</b>	67.0	68.0	1.0	9.66	352.6	10.0
<b>PAL0295</b>	68.0	69.0	1.0	5.2	26.1	5.2
<b>PAL0297</b>	40.9	41.9	1.0	<	628.4	0.6
<b>PAL0297</b>	41.9	42.9	1.0	<	780.5	0.7
<b>PAL0297</b>	42.9	43.9	1.0	<	1798.1	1.6
<b>PAL0297</b>	43.9	44.9	1.0	<	774.2	0.7
<b>PAL0297</b>	44.9	45.9	1.0	<	1655.9	1.4
<b>PAL0297</b>	65.4	66.4	1.0	1.49	457.6	1.9
<b>PAL0297</b>	66.4	67.4	1.0	0.26	144.4	0.4
<b>PAL0297</b>	67.4	68.4	1.0	6.65	187	6.8
<b>PAL0297</b>	74.0	75.0	1.0	3.15	56.6	3.2
<b>PAL0297</b>	75.0	76.0	1.0	36.7	64.3	36.8
<b>PAL0297</b>	76.0	77.2	1.2	29.1	114.6	29.2
<b>PAL0297</b>	77.2	78.2	1.0	2.51	91.1	2.6
<b>PAL0297</b>	78.2	79.2	1.0	0.61	49.6	0.7
<b>PAL0297</b>	79.2	80.2	1.0	0.15	23.8	<
<b>PAL0297</b>	80.2	81.2	1.0	0.4	145.9	0.5
<b>PAL0297</b>	81.2	82.2	1.0	1.4	240.6	1.6
<b>PAL0297</b>	82.2	83.2	1.0	0.55	292.9	0.8
<b>PAL0297</b>	83.2	84.2	1.0	0.5	115.7	0.6
<b>PAL0297</b>	84.2	85.2	1.0	0.91	73	1.0
<b>PAL0297</b>	85.2	86.2	1.0	0.51	155	0.6
<b>PAL0297</b>	86.2	87.2	1.0	6.43	47.1	6.5
<b>PAL0297</b>	87.2	88.2	1.0	1.17	67.8	1.2

<b>PAL0297</b>	88.2	89.2	1.0	0.48	34.2	0.5
<b>PAL0297</b>	89.2	90.3	1.2	1.87	48.6	1.9
<b>PAL0297</b>	90.3	90.7	0.4	3.3	48.4	3.3
<b>PAL0297</b>	90.7	91.7	1.0	16.5	120	16.6
<b>PAL0297</b>	91.7	92.7	1.0	35.8	258	36.0
<b>PAL0297</b>	92.7	93.7	1.0	5.76	164.3	5.9
<b>PAL0297</b>	93.7	94.7	1.0	3.43	90	3.5
<b>PAL0297</b>	94.7	95.7	1.0	<	237	<
<b>PAL0297</b>	95.7	96.7	1.0	<	26.3	<
<b>PAL0297</b>	96.7	97.7	1.0	<	82.4	<
<b>PAL0297</b>	97.7	98.7	1.0	0.08	1199.8	1.1
<b>PAL0297</b>	98.7	99.7	1.0	0.225	1304.35	1.3
<b>PAL0297</b>	99.7	100.7	1.0	1.87	693.6	2.5
<b>PAL0297</b>	100.7	101.7	1.0	2.03	680.6	2.6
<b>PAL0297</b>	101.7	102.7	1.0	3.36	1020.5	4.2
<b>PAL0297</b>	102.7	103.7	1.0	4.91	1230.2	6.0
<b>PAL0297</b>	103.7	104.7	1.0	2.16	203.1	2.3
<b>PAL0297</b>	104.7	105.7	1.0	3.83	102.8	3.9
<b>PAL0297</b>	105.7	106.2	0.5	1.94	937.7	2.7
<b>PAL0302</b>	97.4	98.4	1.0	7.21	78.4	7.3
<b>PAL0302</b>	98.4	99.4	1.0	7.03	113.3	7.1
<b>PAL0302</b>	125.4	126.4	1.0	0.42	32.5	0.4
<b>PAL0302</b>	144.0	144.4	0.4	0.59	482.2	1.0
<b>PAL0302</b>	144.4	145.4	1.0	1.87	505.3	2.3
<b>PAL0302</b>	145.4	146.4	1.0	3.04	472	3.4
<b>PAL0302</b>	146.4	147.4	1.0	1.37	338.8	1.7
<b>PAL0302</b>	147.4	148.4	1.0	0.5	743.8	1.1

Die Ausgangssprache (in der Regel Englisch), in der der Originaltext veröffentlicht wird, ist die offizielle, autorisierte und rechtsgültige Version, Diese Übersetzung wird zur besseren Verständigung mitgeliefert, Die deutschsprachige Fassung kann gekürzt oder zusammengefasst sein, Es wird keine Verantwortung oder Haftung für den Inhalt, die Richtigkeit, die Angemessenheit oder die Genauigkeit dieser Übersetzung übernommen, Aus Sicht des Übersetzers stellt die Meldung keine Kauf- oder Verkaufsempfehlung dar! Bitte beachten Sie die englische Originalmeldung auf [www.sedar.com](http://www.sedar.com), [www.sec.gov](http://www.sec.gov), [www.asx.com.au/](http://www.asx.com.au/) oder auf der Firmenwebsite!